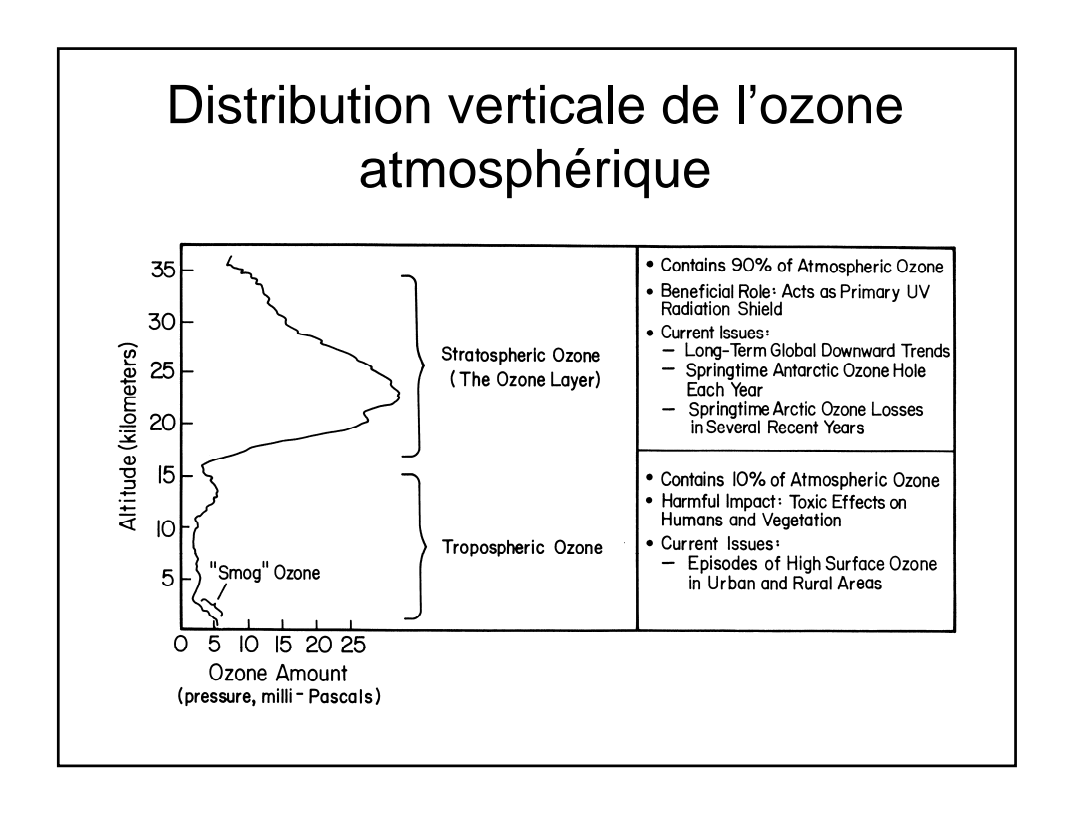
STA-9850: couplage d'une chimie atmosphérique avec un modèle global de circulation générale

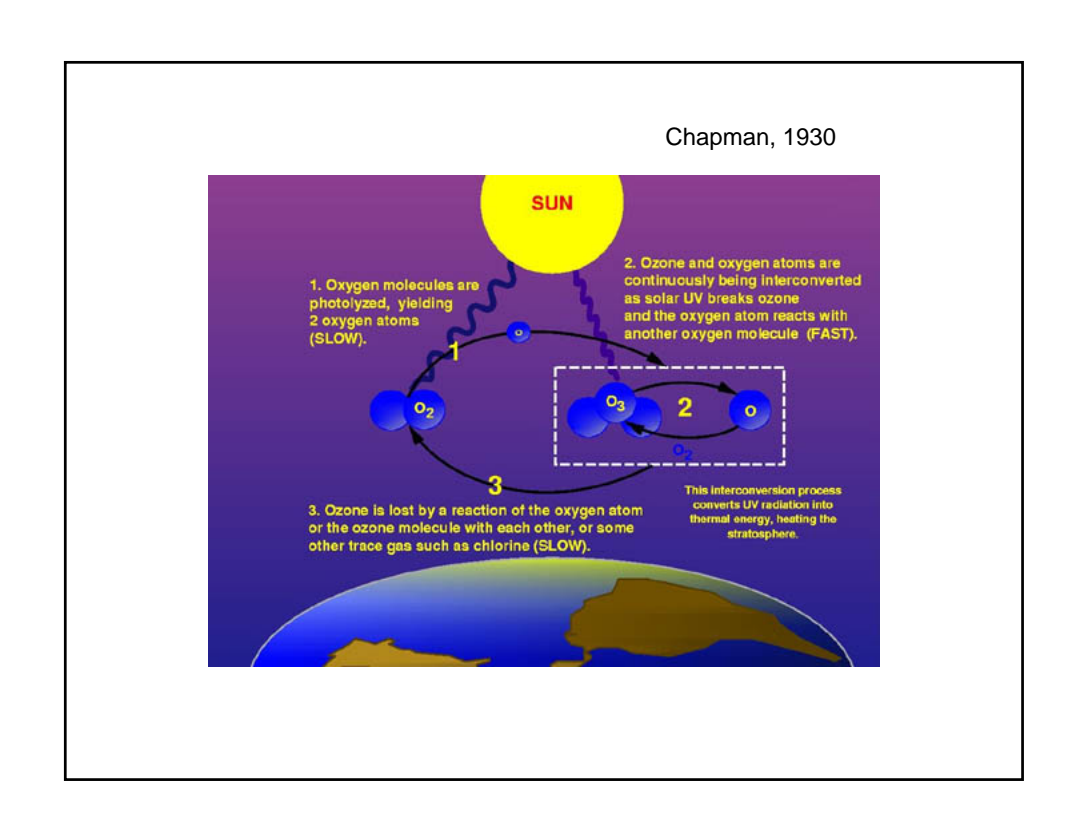
Pierre Gauthier Sciences de l'atmosphère



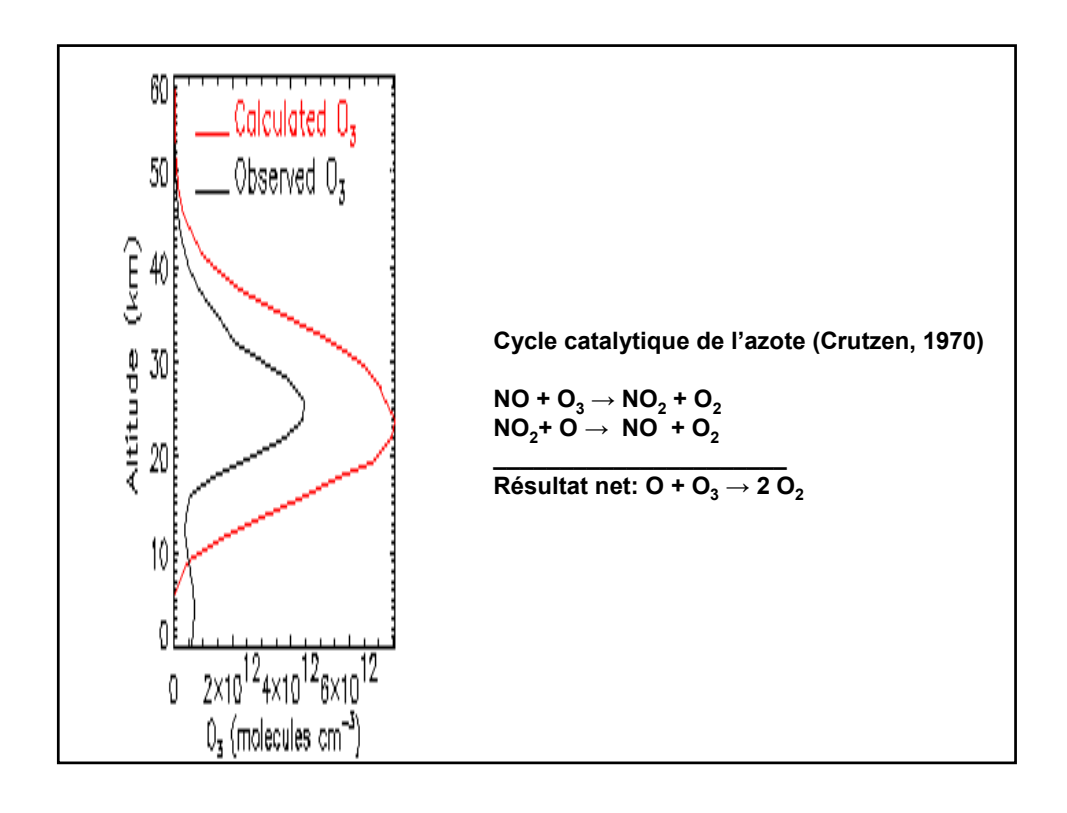
Introduction

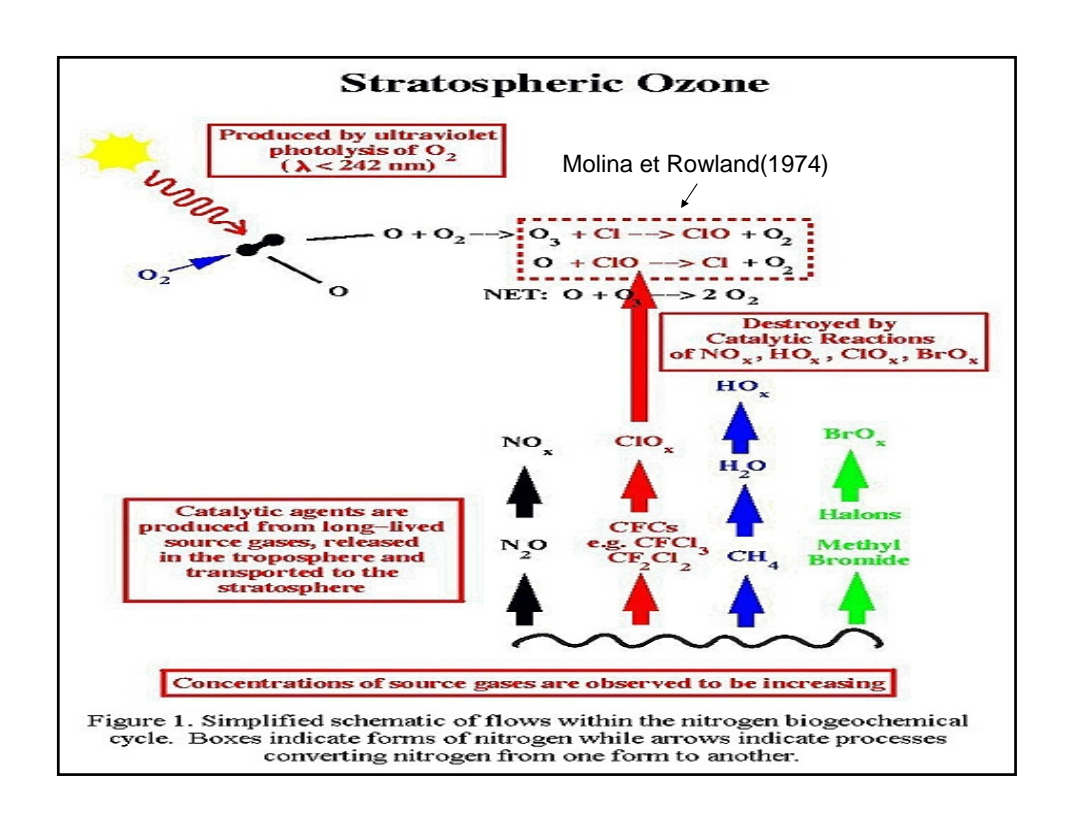
- Modélisation de la chimie stratosphérique pour la représentation de l'ozone
- Assimilation de données avec un modèle qui prend en compte l'interaction entre la dynamique et la chimie atmosphérique
 - * Assimilation quadri-dimensionnelle: prise en compte de l'évolution des observations dans le temps
 - * Influence de l'ozone sur le transfert radiatif et impact sur les prévisions météorologiques



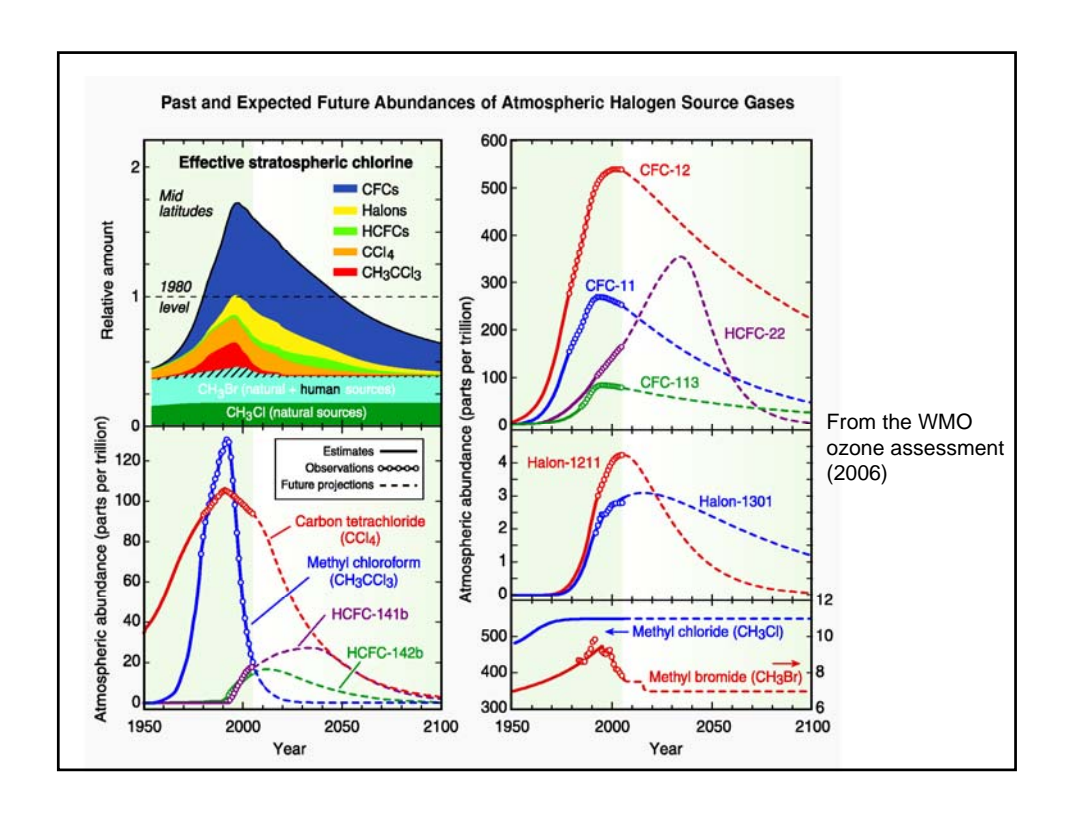


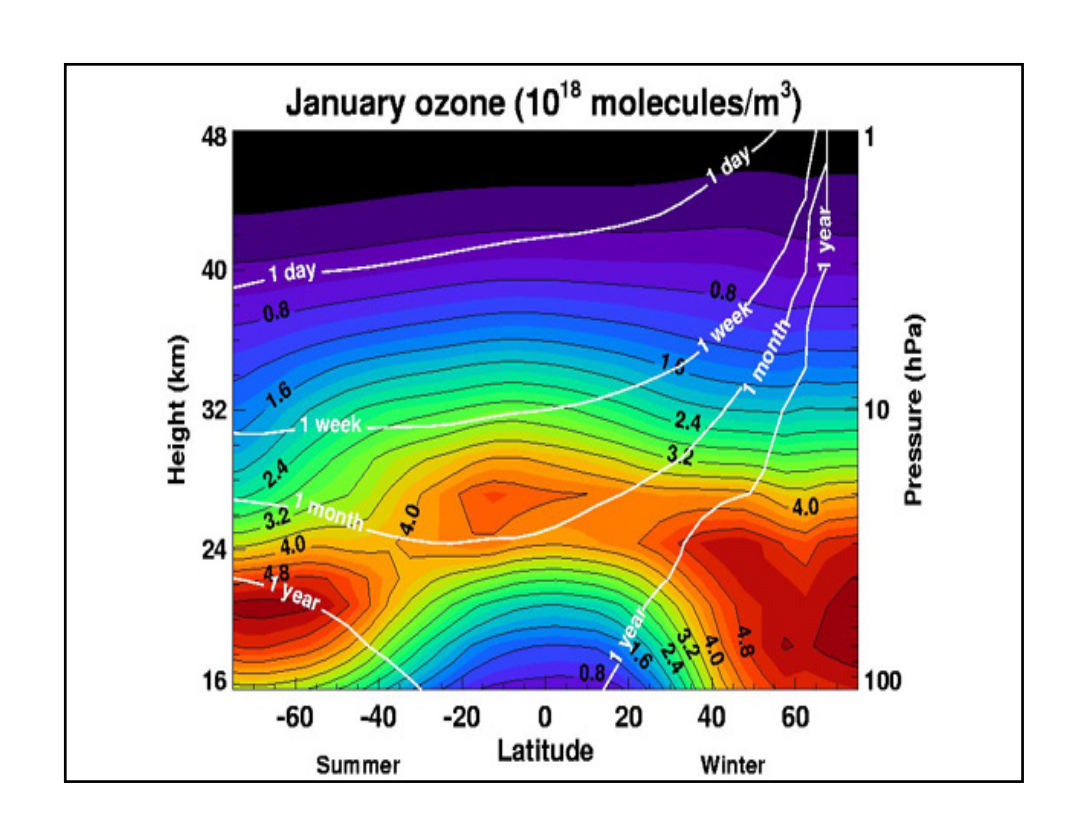
STA-9850 Concepts de système en sciences de la Terre et de l'atmosphère **UQAM Automne 2008**

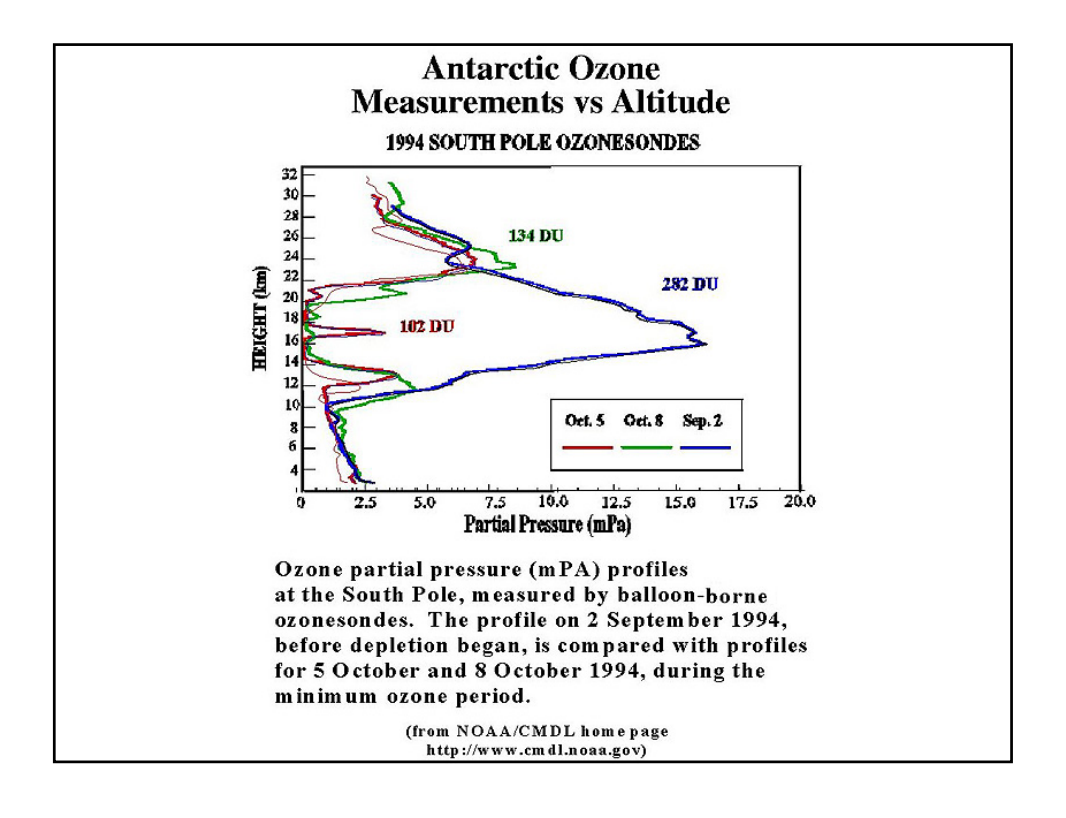




STA-9850 Concepts de système en sciences de la Terre et de l'atmosphère **UQAM Automne 2008**







Chimie stratosphérique de l'ozone

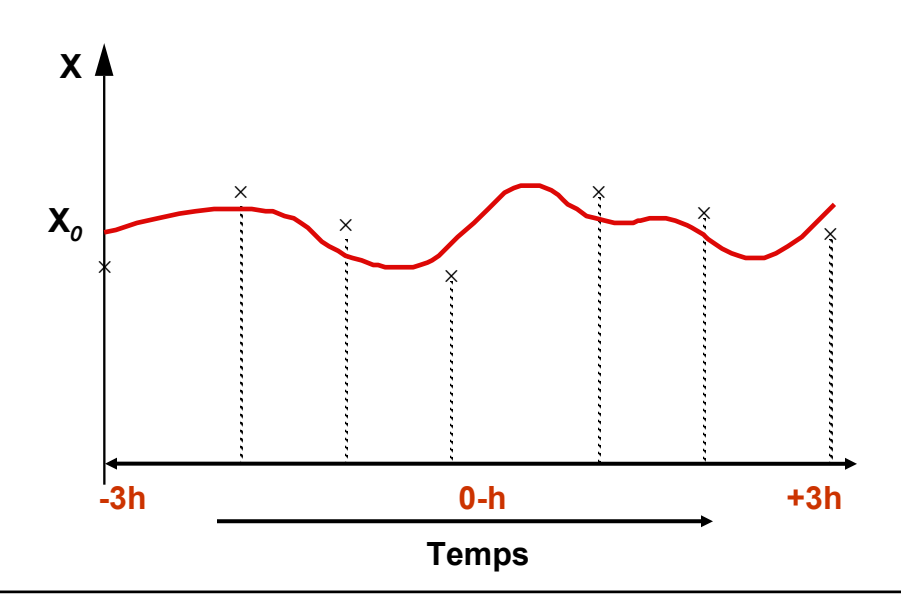
- Ozone est généré dans les Tropiques et transporté vers les régions polaires
- Mécanismes de destruction de l'ozone
 - Photodissociation
 - Réactions catalytiques (NOx, CIO, BrO)
 - · Nécessitent des températures très froides
 - Chimie hétérogène
 - Particules (aérosols) et présence de nuages polaires stratosphériques
 - Volcans constituent une source importante d'aérosols et de SO₂
- Confinement de l'ozone dans les régions polaires
 - Vortex polaire
 - Plus intense au-dessus de l'Antarctique
 - Arctique peut être 'réalimentée ' en O3 et les températures sont moins froides



Assimilation de données pour la chimie stratosphérique

- Assimilation quadri-dimensionnelle 4D (4D-Var)
- Approche incrémentale
 - Approximations permettant de simplifier les équations d'évolution des perturbations
 - Limites de ces approximations
- Impact du couplage chimie-dynamique en assimilation
 - Information sur les vents obtenus d'observations de l'évolution d'un constituant chimique
 - Interaction de l'ozone avec le transfert radiatif: impact sur les prévisions de température





Formulation of variational assimilation through successive changes of variables

Definition:

$$\xi = \mathbf{B}^{-1/2} \delta \mathbf{x} \equiv \mathbf{B}^{-1/2} (\mathbf{X} - \mathbf{X}_b)$$

 $\delta \boldsymbol{x} = \boldsymbol{B}^{1/2} \boldsymbol{\xi} \equiv \boldsymbol{G} \, \boldsymbol{\xi}$

Cost function:

$$J(\boldsymbol{\xi}) = \frac{1}{2}\boldsymbol{\xi}^{\mathrm{T}}\boldsymbol{\xi} + \frac{1}{2}\big(\boldsymbol{\mathsf{H}}'\boldsymbol{\mathsf{G}}\boldsymbol{\xi} - \boldsymbol{\mathsf{y}}'\big)^{\!\mathrm{T}}\boldsymbol{\mathsf{R}}^{\scriptscriptstyle -1}\big(\boldsymbol{\mathsf{H}}'\boldsymbol{\mathsf{G}}\boldsymbol{\xi} - \boldsymbol{\mathsf{y}}'\big)$$

$$\mathbf{y}' = \mathbf{y} - \mathbf{H} \! \left(\mathbf{X}_b \right)$$

Extension to 4D:

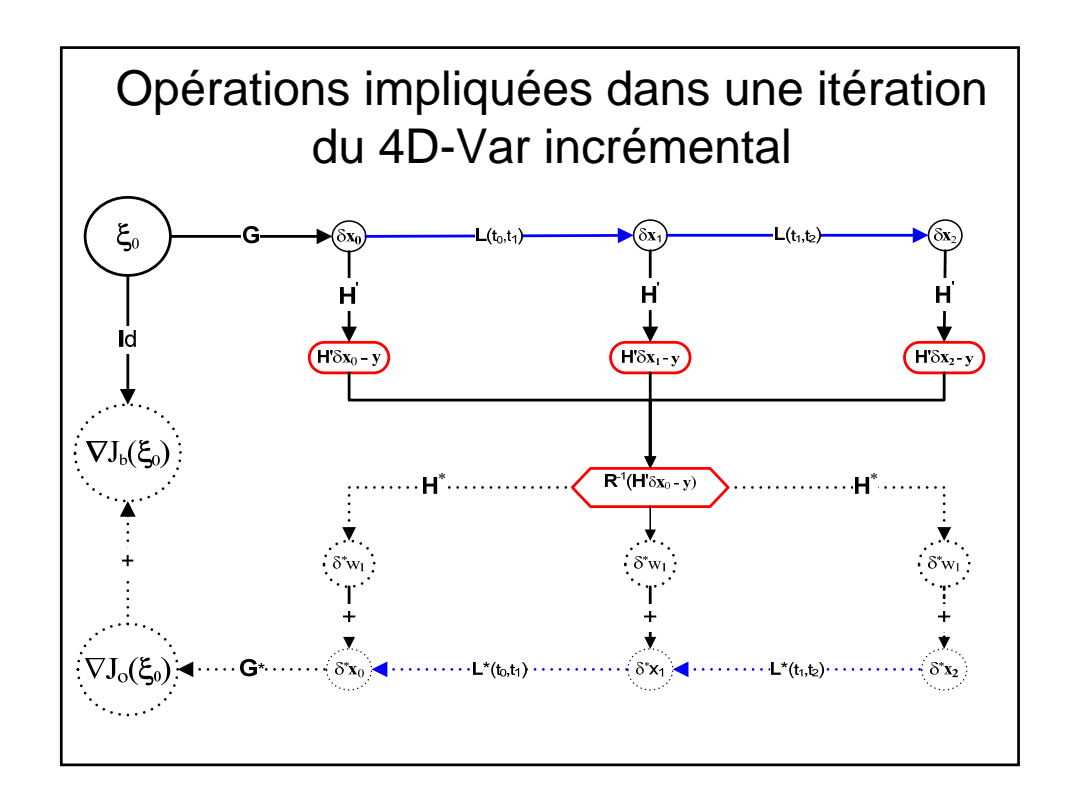
observation operator includes a tangent linear model integration from time \boldsymbol{t}_0 to time \boldsymbol{t}_i

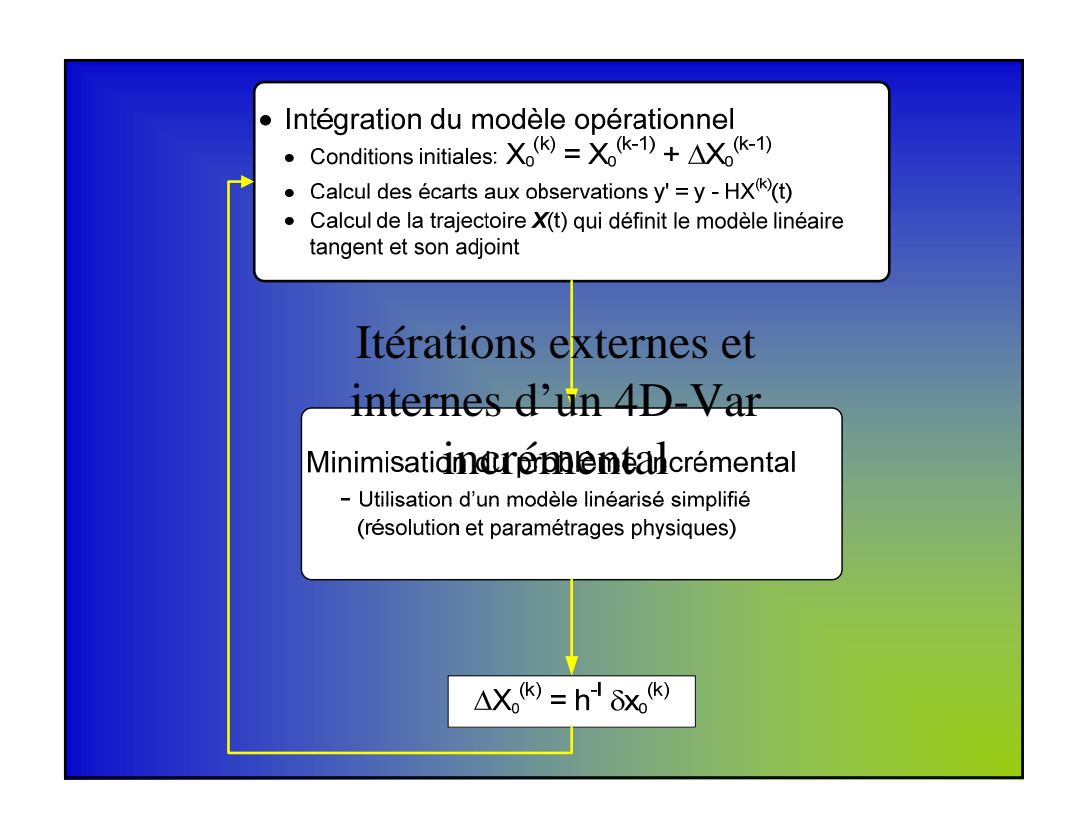
Propagator:

$$\delta \mathbf{X}(t_i) = \mathbf{L}(t_o, t_i) \delta \mathbf{X}(t_0)$$

 $\mathbf{H}' \rightarrow \mathbf{H}_i \mathbf{L}(t_0, t_i)$







Configuration de GEM-BACH et de l'assimilation

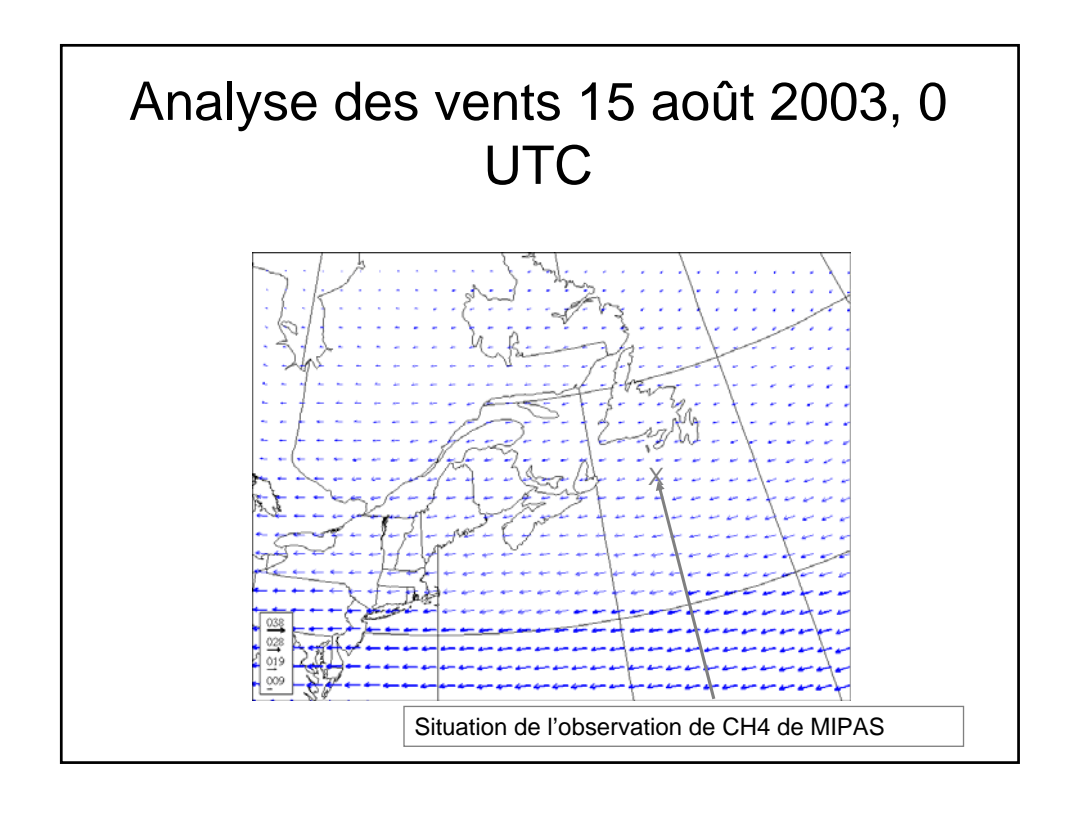
- Configuration de GEM-BACH
 - * Résolution 240x120x80 (toit à 0.1 hPa) pour le modèle et les incréments d'analyse
 - * Inclut le 'Gravity Wave Drag' de Hines et le schéma de radiation de Li et Barker
 - Climatologie de l'ozone de Fortuin et Kelder a été introduite dans le schéma radiatif du modèle
 - Vapeur d'eau interactive entre la chimie et le modèle est présente pour les intégrations avec le modèle couplé
 - * Chimie stratosphérique complète (57 espèces)
- Système d'assimilation
 - * Assimilation inclut toutes les observations du système opérationnel
 - * Canaux additionnels AMSU-a (11 à14) stratosphériques
 - → Canaux 11-14 sont influencés par la couche entre 0.1 et 10 hPa

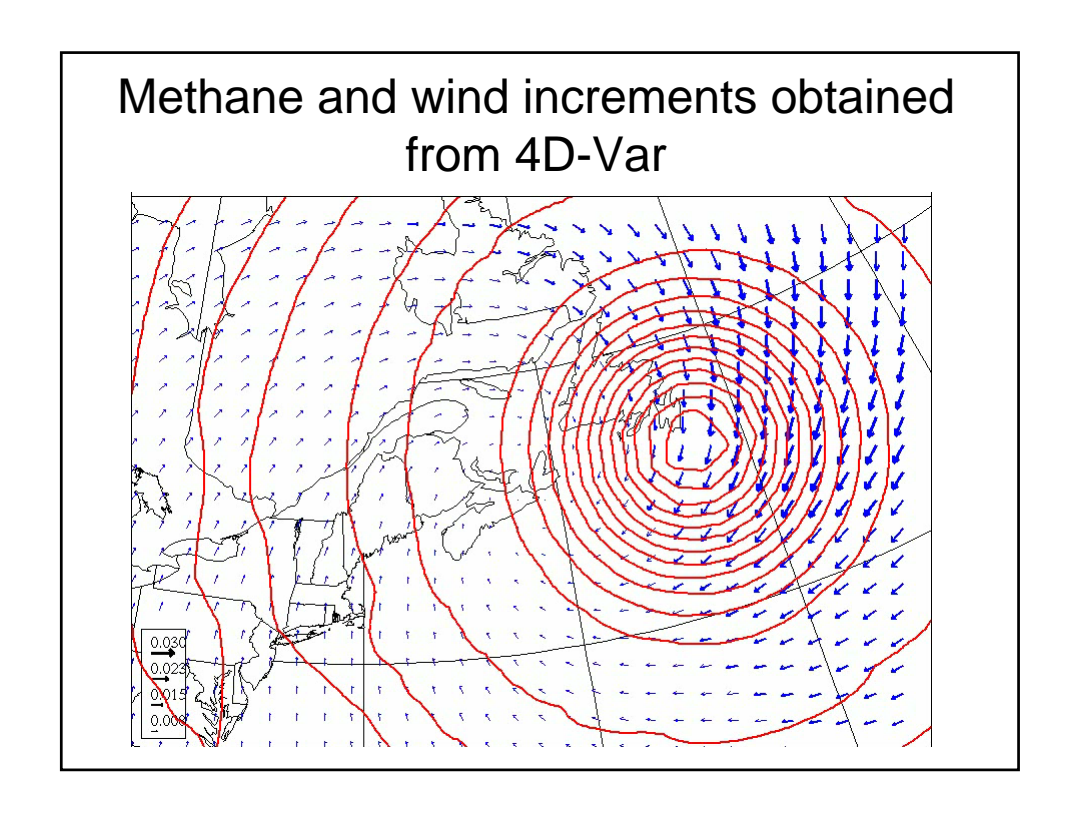
Information sur les vents obtenue de séries temporelles d'observations de constituants

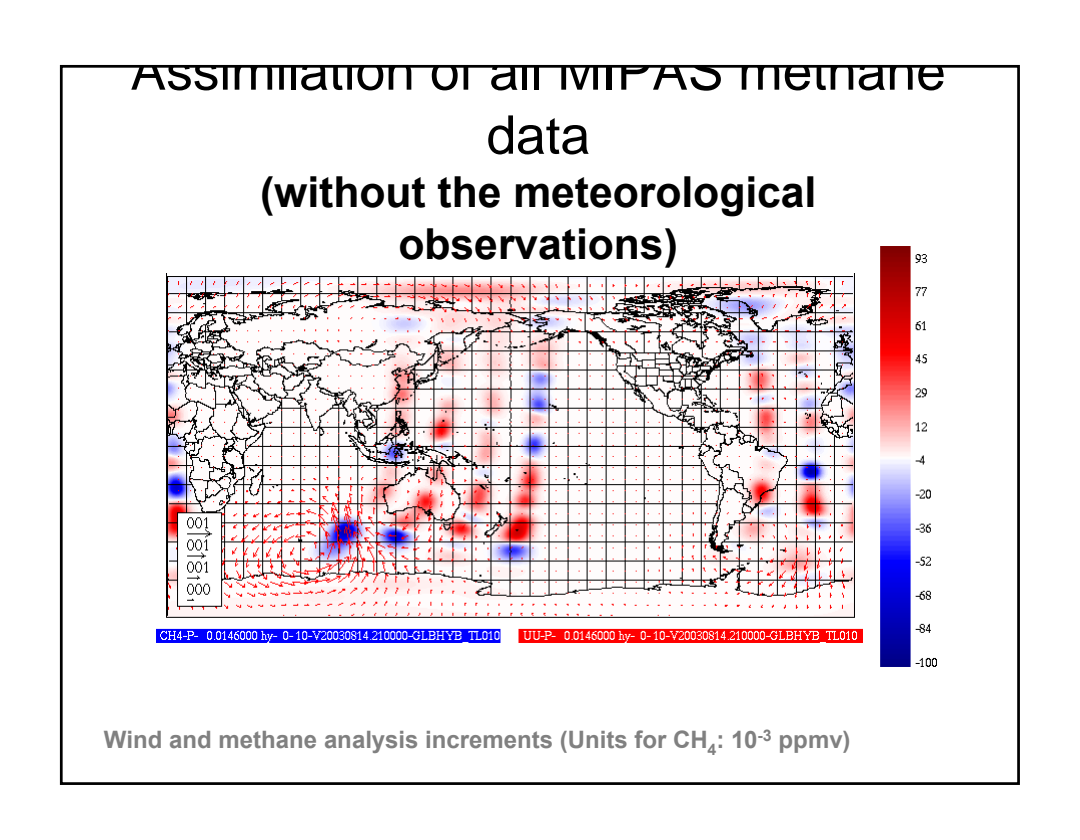
- 4D-Var incrémental dans lequel les incréments d'analyse évoluent approximativement comme des traceurs passifs
 - * GEM-BACH avec chimie complète dans la boucle externe du 4D-Var
- Assimilation des observations MIPAS de CH₄, O₃, et/ou N₂O
 - * Espèces se comportent approximativement comme des traceurs passifs
 - Observations de 10 à 100 hPa dans les Tropiques et de 10 à 300 hPa dans les extra-Tropiques
- Comparaison des incréments est comparée aux autres sources d'information sur les vents dans la stratosphère
 - * Impact de changements dans les statistiques d'erreur
- Validation dans un cycle d'assimilation comprenant toutes les observations

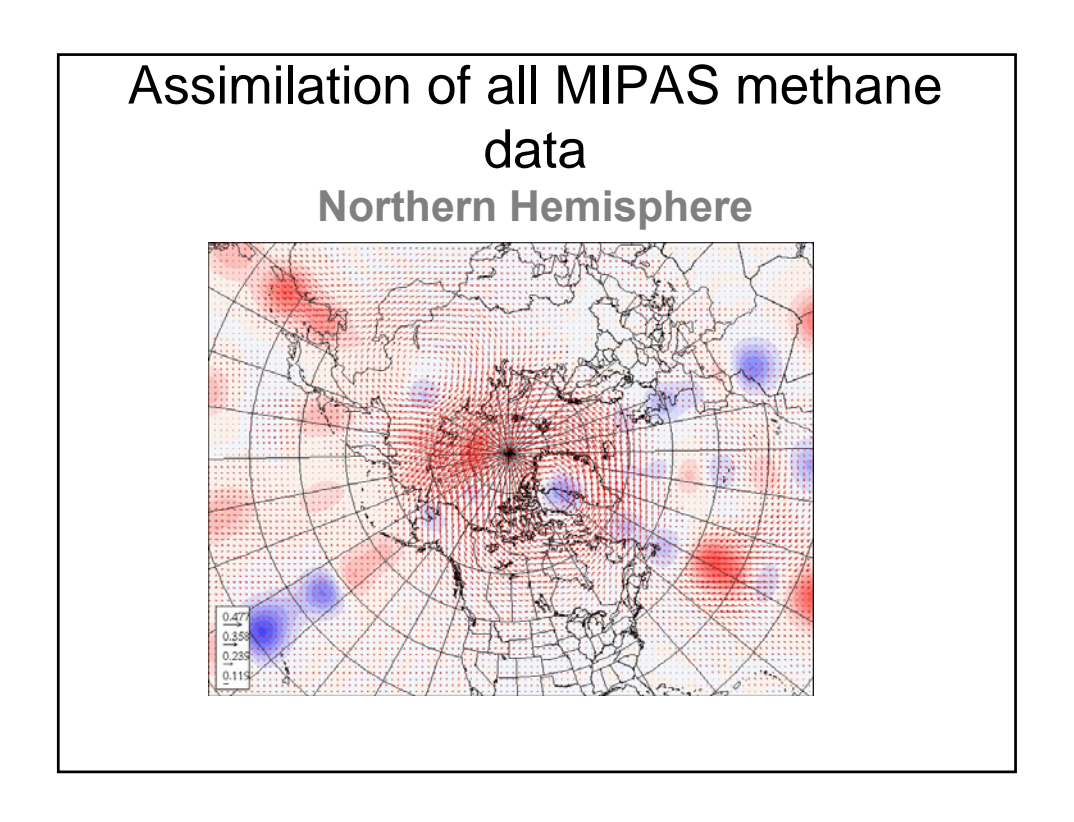
Expérience

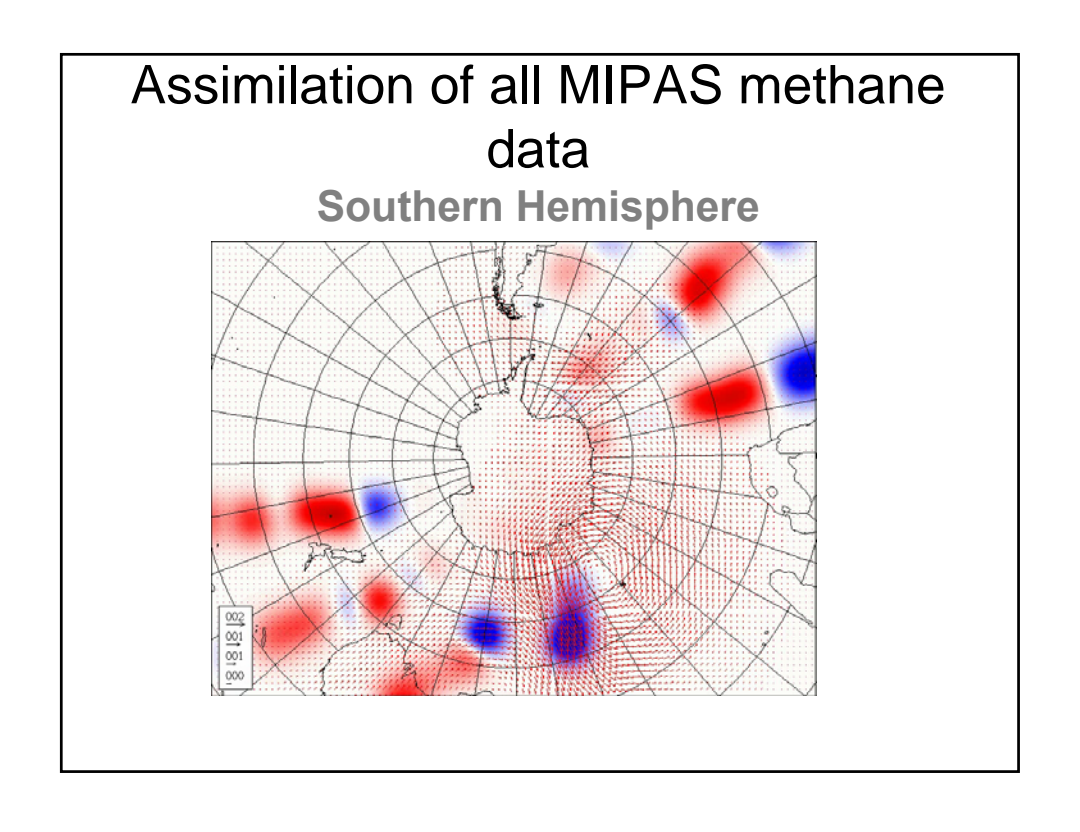
 Assimilation de données de méthane de MIPAS valide à T+ 2-h en un point donné

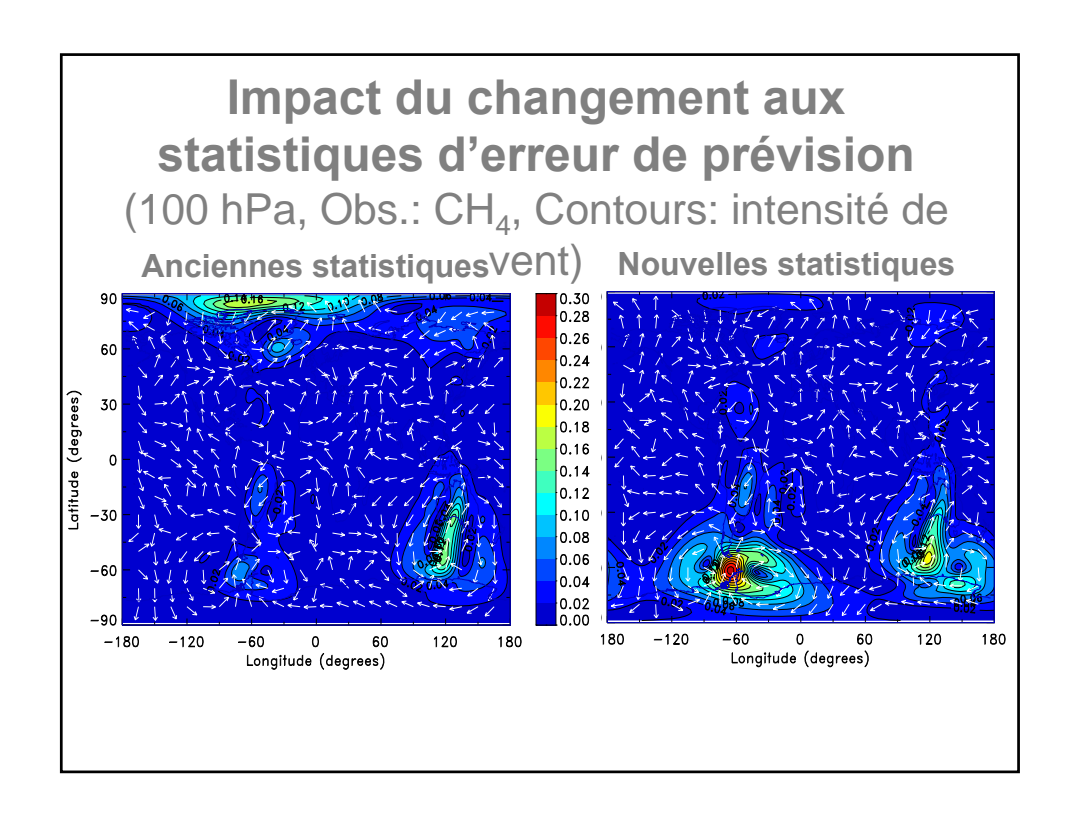


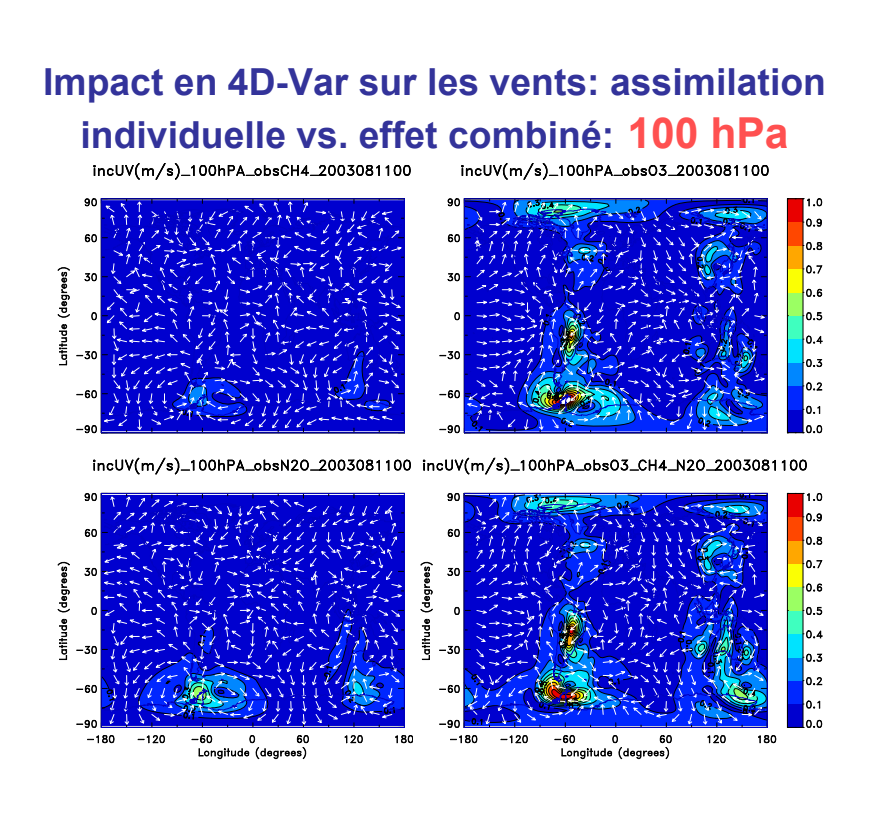


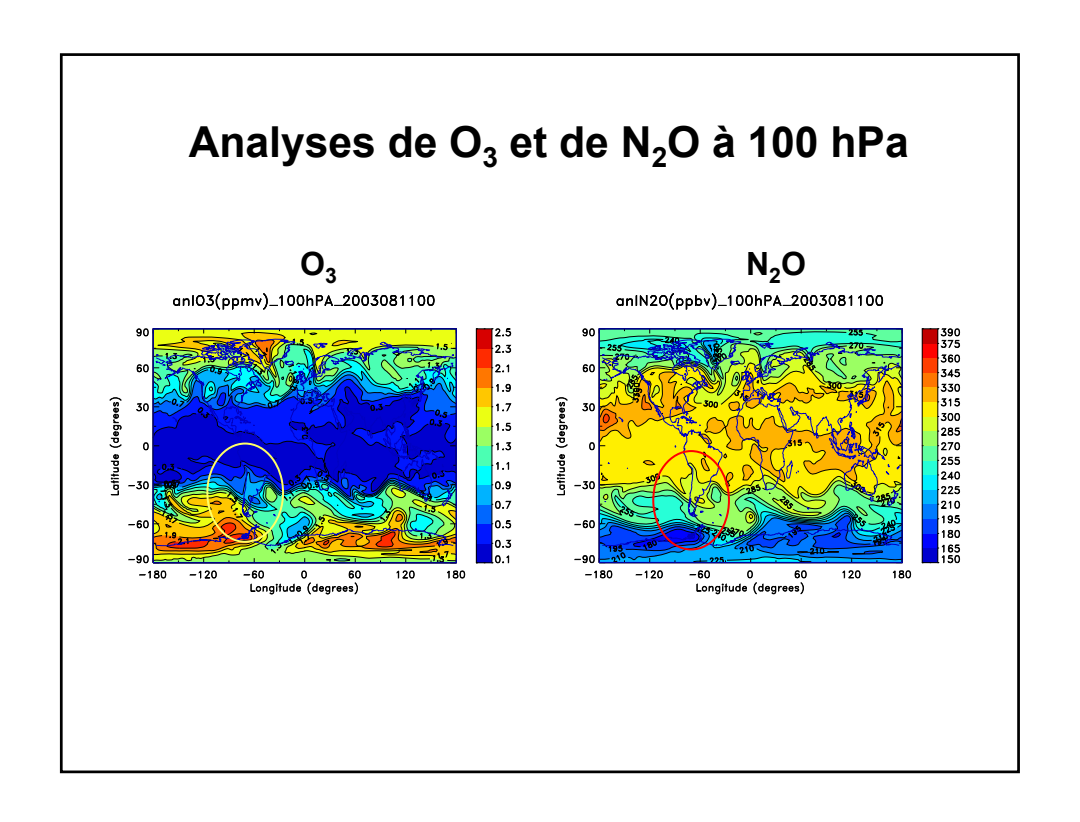








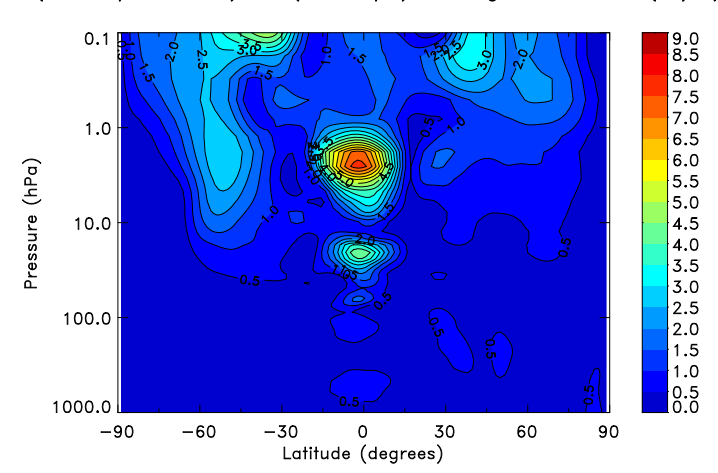




Différence dans les analyses de vent (moyenne zonale)

4D-Var avec assimilation de CH_4 , O_3 et N_2O moins 4D-Var sans assimilation de CH_4 , O_3 et N_2O

 $UV(4dv_dyn+chem)-UV(4dv_dyn)_15aug-05oct2003(m/s)$



Impact de la chimie sur une prévision de 6-h

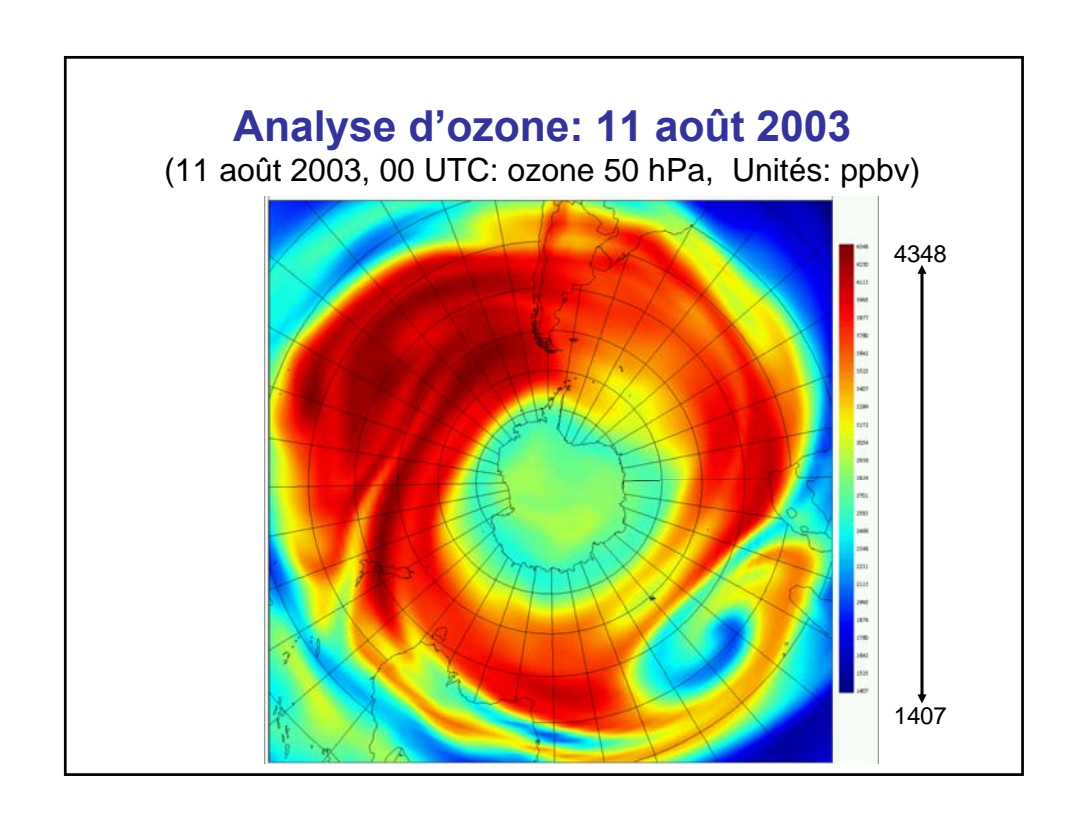
- Conditions initiales sont identiques dans les deux expériences:
 - Exp. No.1: intégration avec la chimie complète du système couplé GEM-BACH
 - Exp. No.2: chimie est désactivée, et l'ozone est tout simplement advecté
 - Différence entre les deux intégrations indiquera où la chimie influence le plus l'évolution du champ d'ozone
- Deux cas sont considérés cases were considered

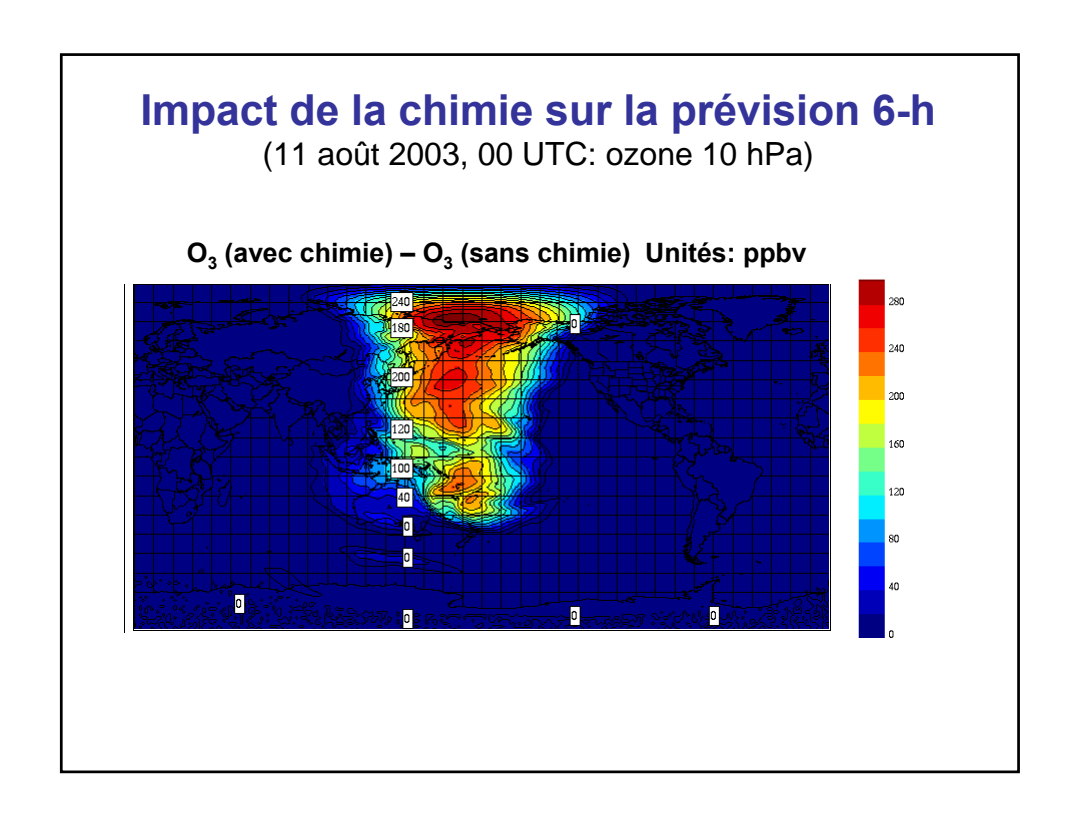
11 août 2003: période avant la formation du trou

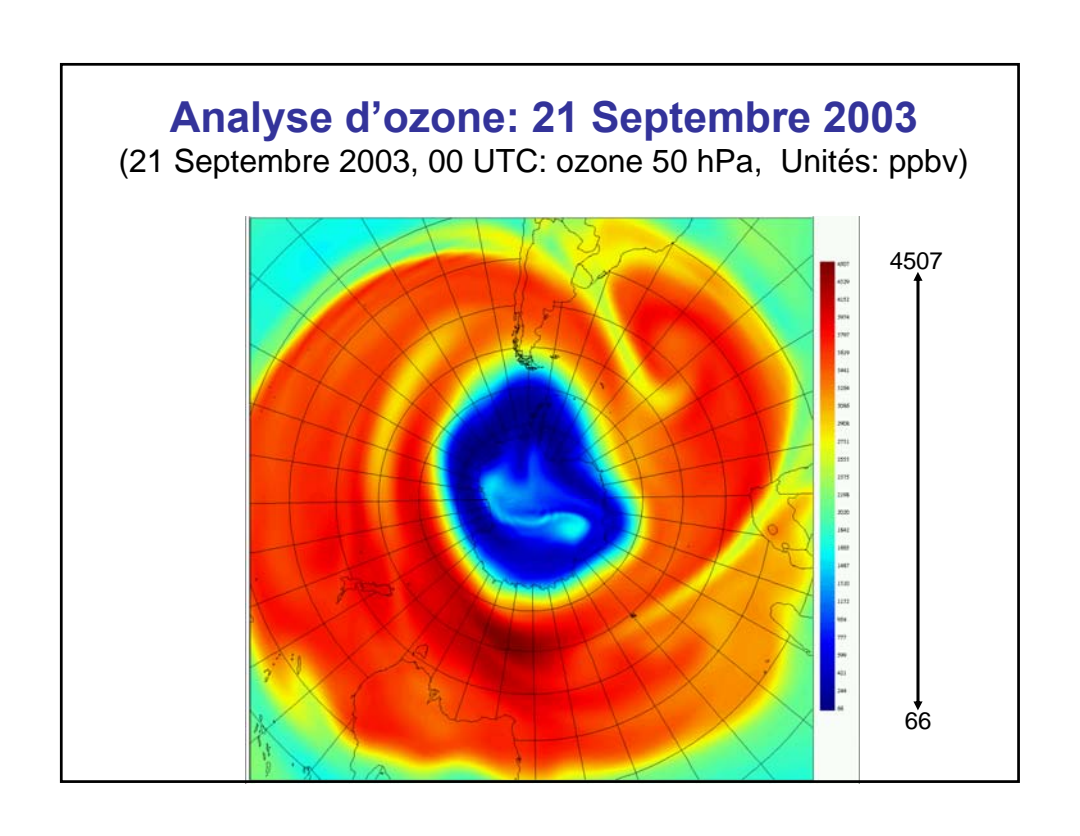
d'ozone au-dessus de l'Antarctique

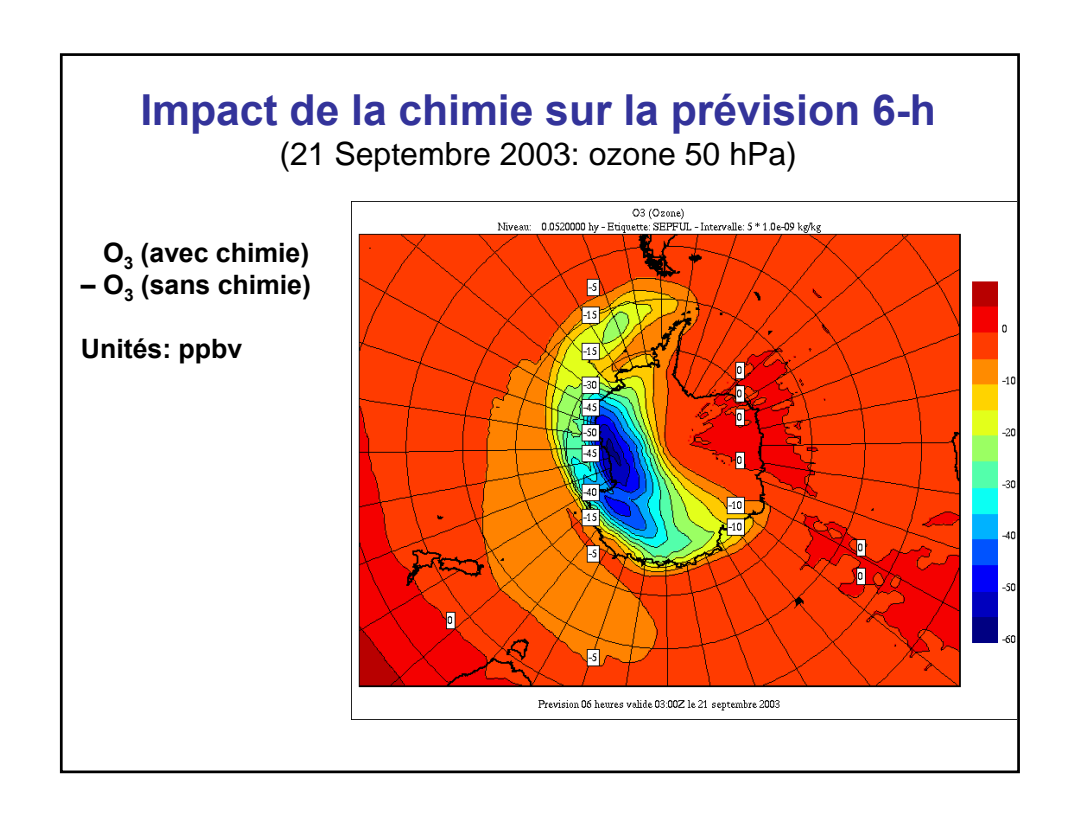
21 septembre 2003: durant la période où le trou d'ozone

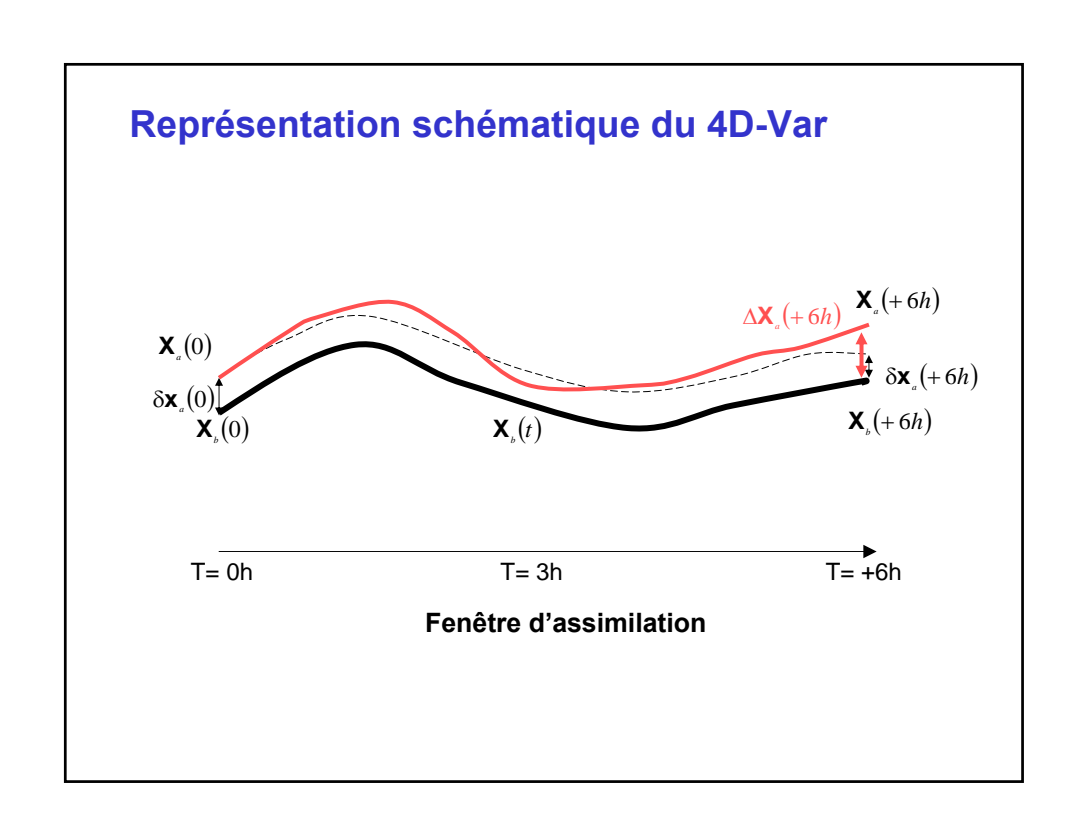
est présent



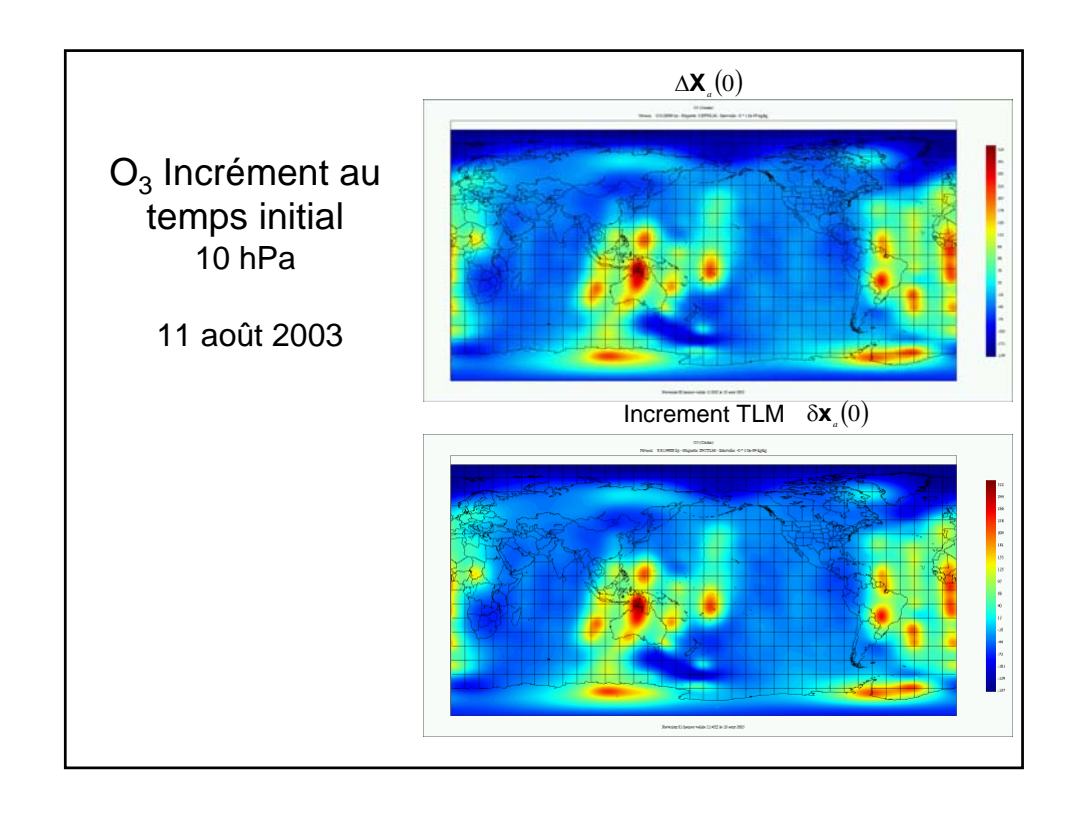


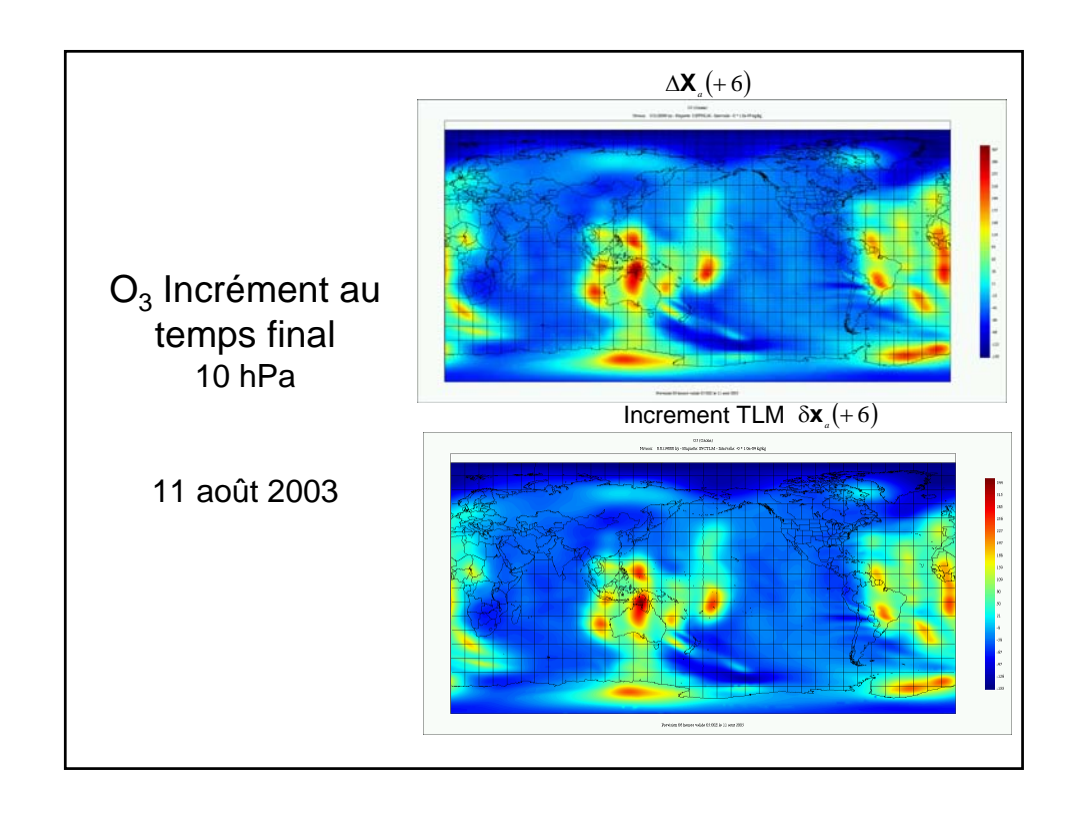


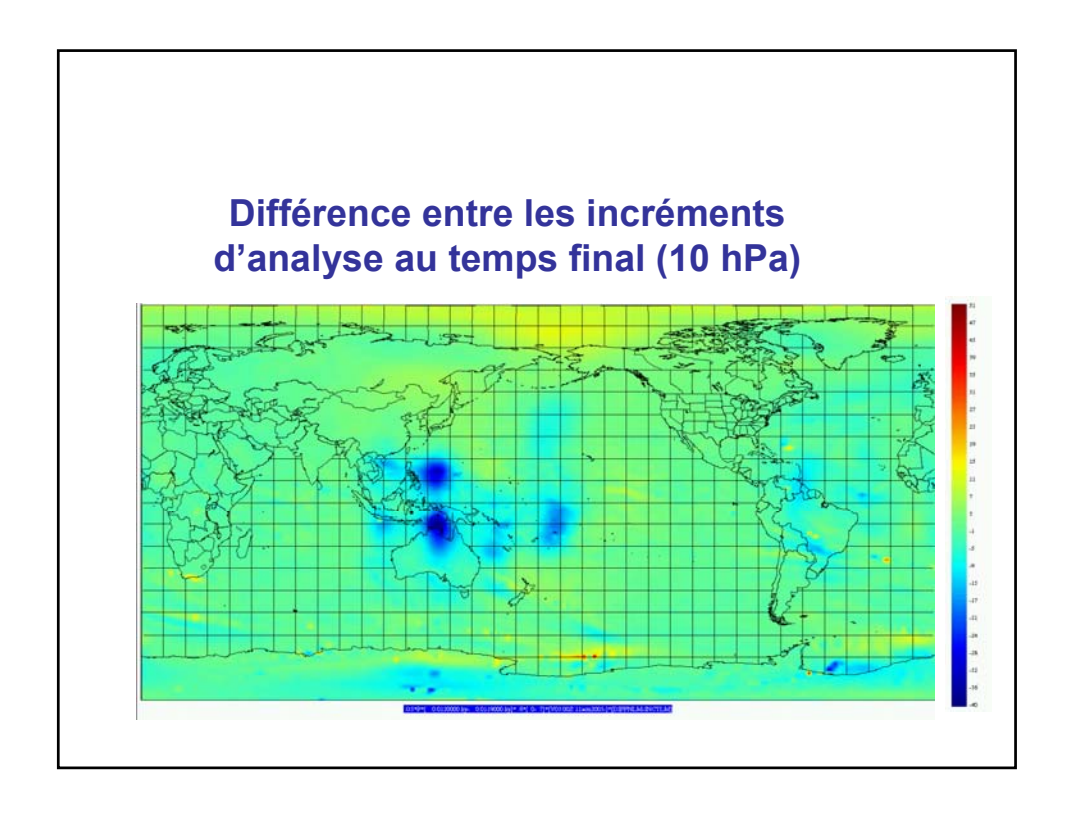


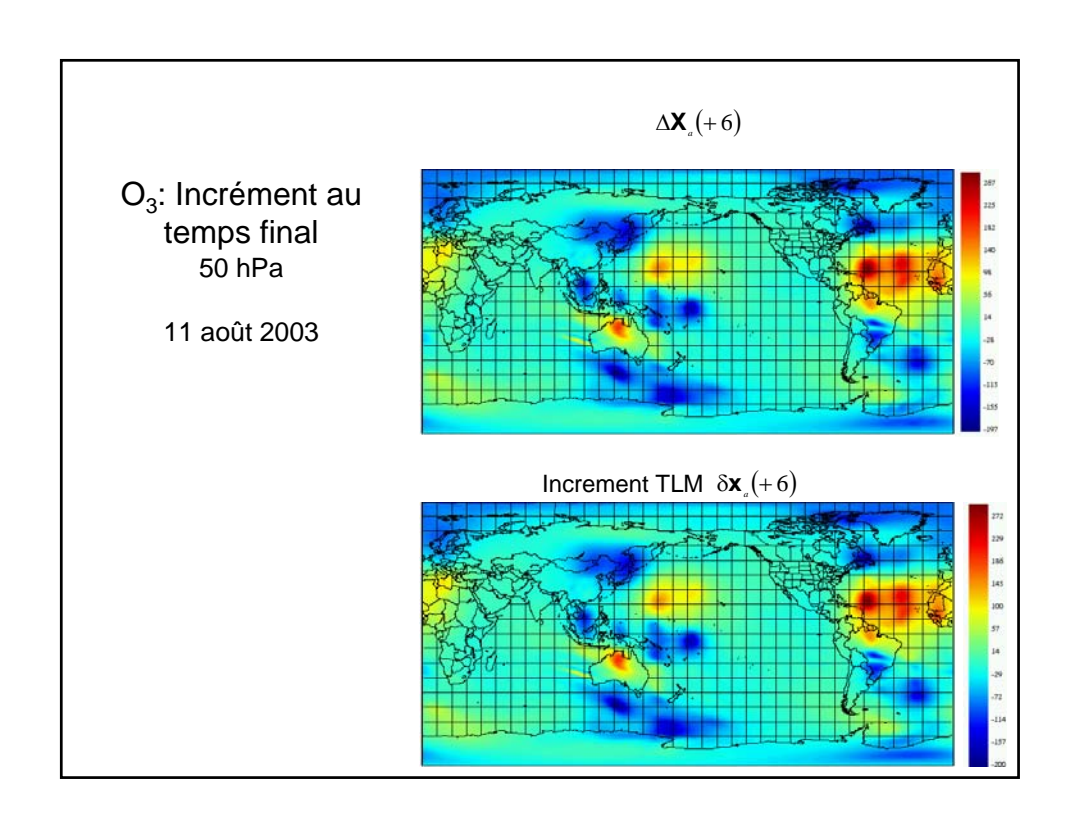


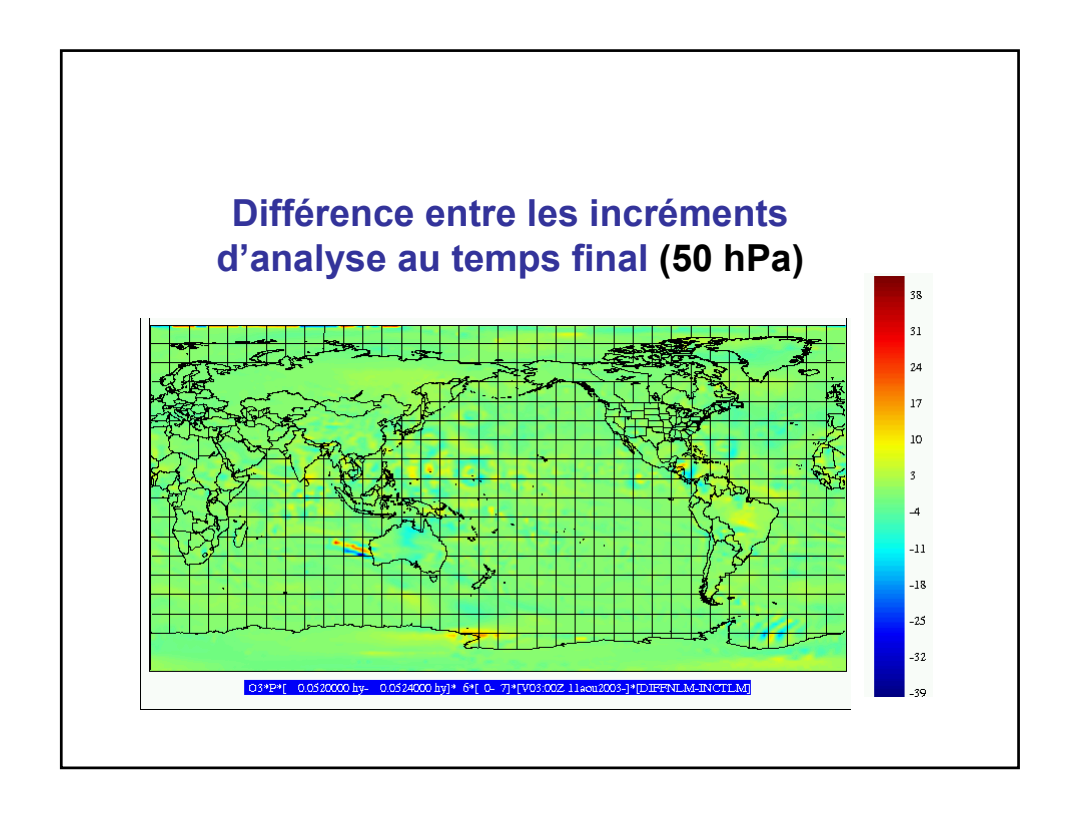
STA-9850 Concepts de système en sciences de la Terre et de l'atmosphère **UQAM Automne 2008**

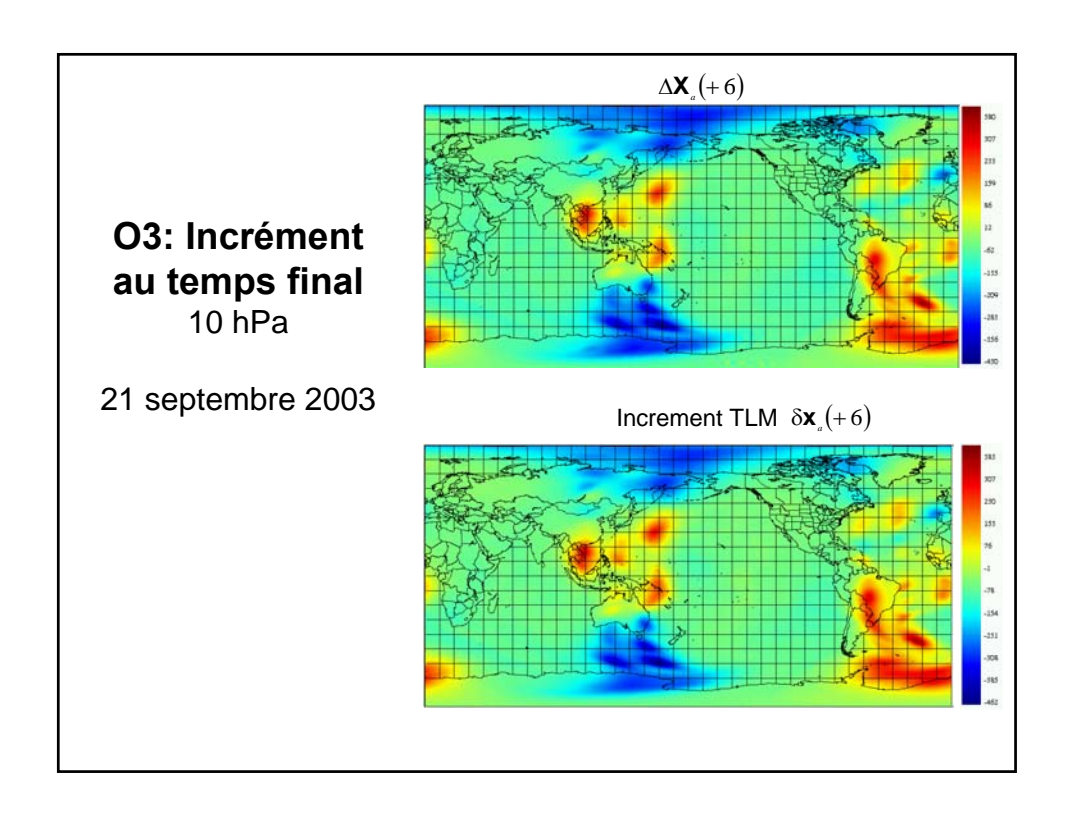


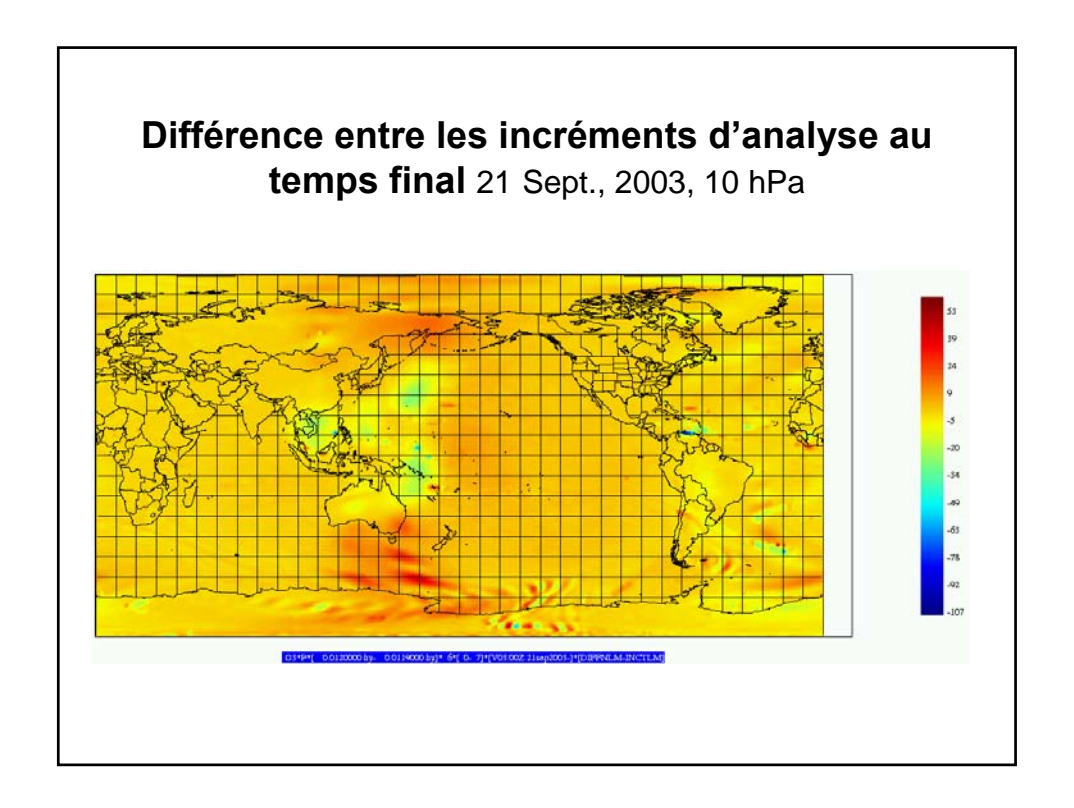






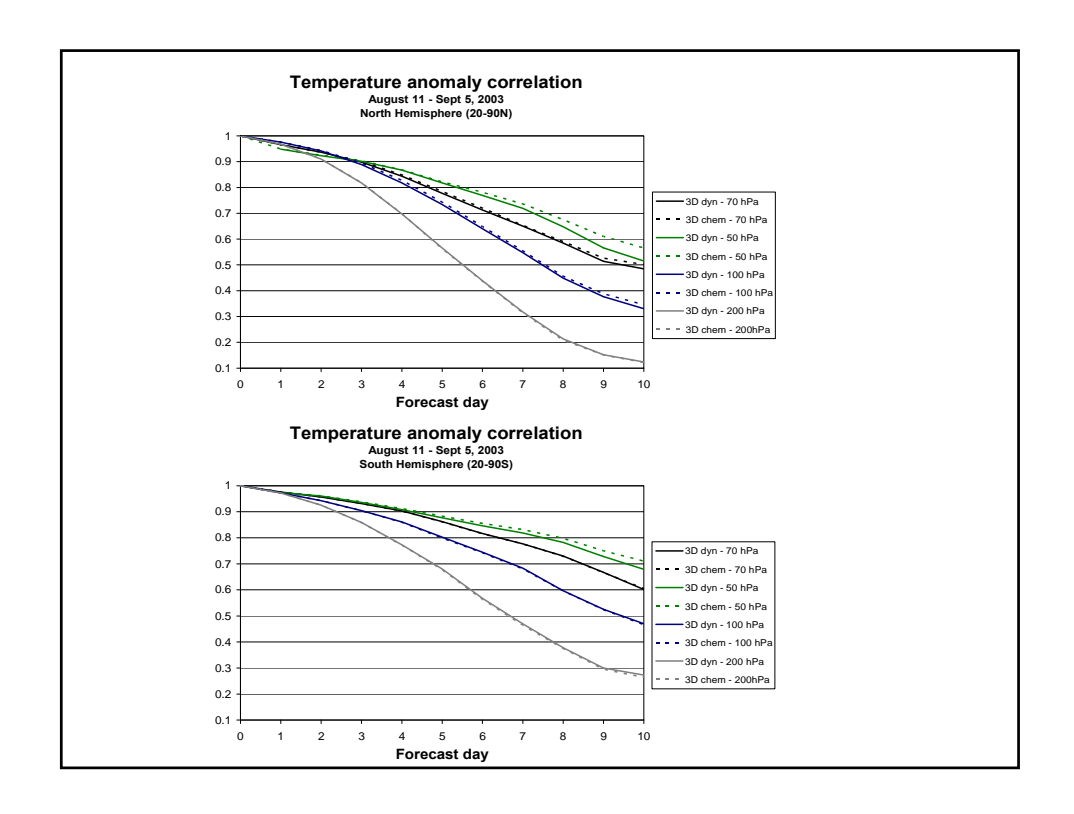






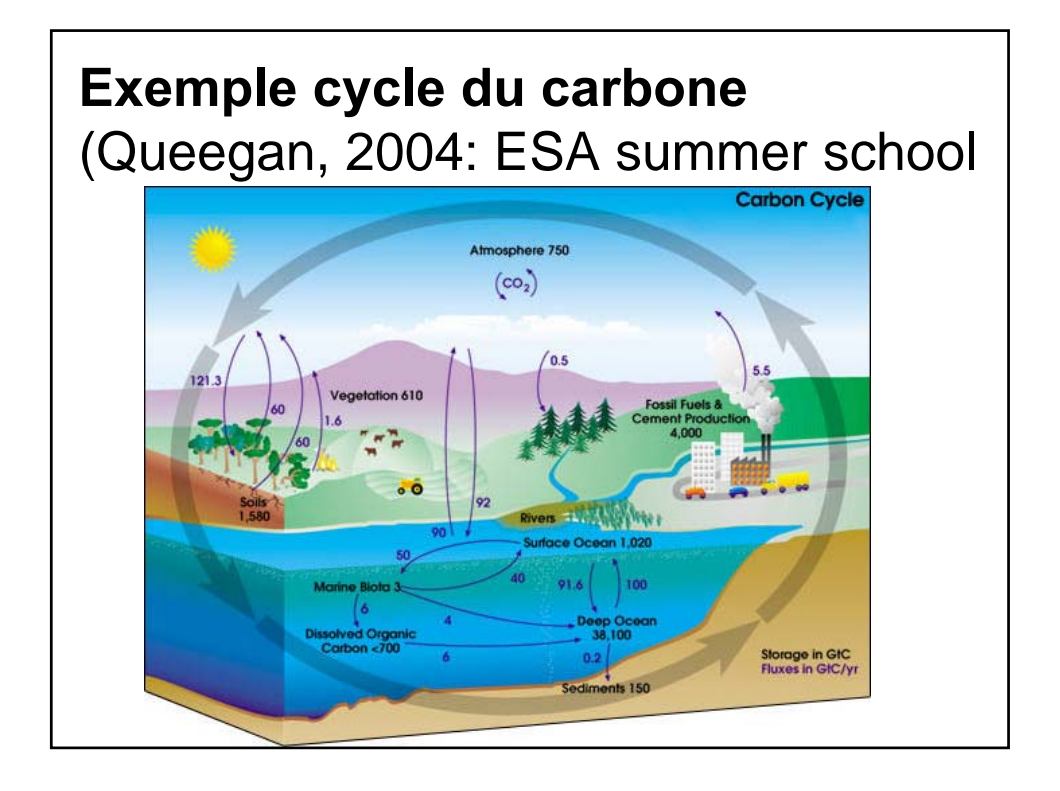
Impact de la prise en compte de l'ozone sur les prévisions météorologiques

Période du 11 août au 5 septembre 2003



Conclusion

- Assimilation dans le cadre d'un modèle couplé incluant la dynamique et la chimie stratosphérique
 - Information sur les vents peut être obtenu de l'observation de l'évolution de traceurs chimiques
 - Impact de l'ozone sur le transfert radiatif sur la dynamique (température et indirectement sur les vents)
 - Circulation générale guide le transport des constituants chimiques
- Modélisation et assimilation avec des modèles couplés
 - Résultats dépendent de la qualité du modèle utilisé
 - Comparaison contre tous les types d'observation permet de valider l'ensemble des processus modélisés ainsi que leurs interactions
 - Modèle atmosphérique et modèle hydrologique: cohérence entre les précipitations et les débits mesurés dans les cours d'eau



Definitions

 $\delta x = X - X_b$: increment

 $\mathbf{H'} = \partial \mathbf{H}/\partial \mathbf{X}$: tangent-linear of the observation operator $\mathbf{y'} = \mathbf{y} - \mathbf{H}(\mathbf{X_b})$: innovation vector (observation departure)

X : model state $(\dim \mathbf{X} = N \sim 10^7)$

 \mathbf{X}_b : background state

B : background-error covariance

H: forward model (or observation operator)y: observation vector (dim $y = M \sim 10^5$)R: observational error covariance matrix

Remarks

 Linearisation of the observation operators is taken around a profile model state obtained with respect to the high resolution background